

УДК 532.51:534.12

Нелинейные несферические колебания пузырька газа при периодическом изменении давления окружающей жидкости*

А.А. Аганин, М.А. Ильгамов, Л.А. Косолапова, В.Г. Малахов

Институт механики и машиностроения КНЦ РАН, Казань

Институт механики УНЦ РАН, Уфа

E-mail: aganin@kfti.knc.ru

Построена математическая модель динамики пузырька, в которой изменение формы межфазной поверхности представляется в виде ряда по сферическим гармоникам, а соотношения записываются с точностью до квадрата амплитуды искажения сферической формы пузырька. На режимах колебаний, близких к периодической сонолюминесценции отдельного пузырька в стоячей акустической волне, изучен характер колебаний воздушного пузырька в воде в зависимости от его начального радиуса и амплитуды изменения давления жидкости. Установлено, что за границей области линейно-устойчивых сферических колебаний могут иметь место несферические колебания ограниченной амплитуды. При этом наблюдаются как колебания с периодом, равным одному или нескольким периодам изменения давления жидкости, так и аperiodические колебания. Показано, что пренебрежение искажениями в виде сферических гармоник с большими номерами ($i > 3$) может приводить к смене режимов колебаний. При этом влияние искажений на форму поверхности пузырька для гармоник с $i > 8$ незначительно.

Ключевые слова: газовый пузырек, нелинейные колебания, потенциальное течение.

Экспериментальное открытие в 1990 г. явления периодической сонолюминесценции отдельного пузырька в стоячей волне вызвало повышенное внимание исследователей к задачам динамики пузырька на этом режиме [1, 2]. Многочисленные экспериментальные и теоретические исследования этого явления были направлены, в основном, на выяснение механизмов сонолюминесценции и повышение интенсивности свечения (повышение степени сжатия газа в пузырьке). С этой целью изучались зависимости радиальной динамики пузырька от используемых в экспериментах жидкостей и газов, окружающих условий, частоты, амплитуды и формы колебаний давления жидкости, диффузии газа через поверхность пузырька и т. д. [1, 2]. Теоретические исследования проводились с применением сферически симметричных моделей. Относительно недавно экспериментально удалось добиться существенного повышения интенсивности свечения [3].

Для осуществления высоких степеней сжатия пузырька, при которых возникает явление сонолюминесценции, необходимо, чтобы форма пузырька при его радиальных колебаниях оставалась близкой к сферической. Одной из первых

* Работа выполнена при финансовой поддержке РФФИ (№ 05-01-00415) и Программы фундаментальных исследований отделения ЭММПУ РАН.

работ, посвященных исследованию устойчивости сферической поверхности раздела двух невязких несжимаемых жидкостей при ее малом отклонении от сферической формы, является работа [4]. Дальнейшее развитие проблема устойчивости сферического пузырька газа в жидкости в рамках линейной теории при учете поверхностного натяжения, вязкости и сжимаемости жидкости получила во многих работах [5–8 и др.].

В линейной теории выход за границу области устойчивости в параметрическом пространстве приводит к неограниченному росту амплитуды искажений, что физически можно интерпретировать как разрушение целостности пузырька. В реальности же пузырек может сохраняться и за пределами этих границ, например, в результате нелинейных эффектов, влияние которых по мере увеличения искажения сферической формы возрастает.

В работе [5] исследуется устойчивость сферической формы пузырька в квадратичном относительно амплитуд сферических гармоник приближении при учете поверхностного натяжения и вязкости жидкости. Разрешающие соотношения в [5] получены с учетом трех первых гармоник. При этом влияние искажения формы пузырька на его сферические колебания не учитывалось.

Нелинейные эффекты, обусловленные немалыми искажениями сферической формы пузырька, на режиме, близком к сонолюминесценции, исследовались в [9] с применением уравнений, описывающих эллипсоидальные колебания пузырька с учетом вязкости и сжимаемости жидкости, а также сил поверхностного натяжения.

Целью настоящей работы является исследование нелинейных несферических колебаний пузырька в режиме, близком к режиму периодической сонолюминесценции, с учетом нелинейного взаимодействия сферических гармоник, задающих искажение сферической формы пузырька. Применяется математическая модель динамики пузырька, в которой соотношения записываются с точностью до квадрата амплитуды искажения сферической формы. При этом учитываются поверхностное натяжение, вязкость и сжимаемость жидкости. Обзор используемых в настоящее время моделей эволюции поверхности пузырька при ее представлении в виде ряда по сферическим поверхностным гармоникам приведен в [10].

ПОСТАНОВКА И МЕТОДИКА РЕШЕНИЯ ЗАДАЧИ

Предполагается, что движение жидкости, окружающей пузырек, потенциальное. Влияние вязкости учитывается через динамическое граничное условие на межфазной поверхности. Жидкость около пузырька (в области $r \sim R_0$, где R_0 — характерный радиус пузырька) считается несжимаемой. Тогда движение жидкости в сферической системе координат r, θ, φ описывается уравнениями:

$$\Delta\Phi = 0, \quad \frac{\partial\Phi}{\partial t} + \frac{1}{2}\left(\frac{\partial\Phi}{\partial r}\right)^2 + \frac{1}{2r^2}\left(\frac{\partial\Phi}{\partial\theta}\right)^2 + \frac{p}{\rho_f} = f(t), \quad (1)$$

где t — время, p — давление, ρ_f — плотность жидкости, Φ — потенциал скорости, $f(t)$ — произвольная функция времени.

Считается, что газ в пузырьке идеальный, с равномерным распределением давления, подчиняющимся следующему закону:

$$p^- = p_b^0 \left(\frac{V_0 - bV_0}{V - bV_0} \right)^\gamma. \quad (2)$$

Здесь p_b^0 — начальное давление газа в пузырьке, V_0, V — начальный и текущий объемы пузырька, b — постоянная, γ — показатель адиабаты.

На поверхности пузырька $r = r_s(\theta, t)$ записываются кинематическое граничное условие равенства проекций скоростей жидкости и поверхности по нормали \mathbf{n} к деформированной поверхности

$$\left. \frac{\partial \Phi}{\partial r} \right|_{r=r_s} - \frac{1}{r_s^2} \left. \frac{\partial \Phi}{\partial \theta} \right|_{r=r_s} \frac{\partial r_s}{\partial \theta} = \frac{\partial r_s}{\partial t} \quad (3)$$

и динамическое граничное условие равенства нулю суммы проекций сил по нормали \mathbf{n}

$$p^+ = p^- - 2\sigma H + \tau_{nn}, \quad (4)$$

где σ — поверхностное натяжение, τ_{nn} — вязкое напряжение,

$$\tau_{nn} = 2\mu \frac{\partial^2 \Phi}{\partial n^2},$$

μ — динамический коэффициент вязкости. Предположение о потенциальности поля скоростей в жидкости исключает возможность использования динамического граничного условия по касательной, поскольку система становится переопределенной. Поэтому в предлагаемой модели требуется выполнение только условия (4). Сравнение моделей с различными способами учета вязкости в [11] показывает возможность использования такого подхода.

Уравнение поверхности пузырька записывается в виде

$$r_s(\theta, t) = R(t)[1 + \epsilon(\theta, t)]. \quad (5)$$

Функции $R(t)$ и $\epsilon(\theta, t)$ будем называть, соответственно, радиусом и искажением сферической формы пузырька. Искажение сферической формы пузырька представляется как

$$\epsilon = \sum_{i=1}^{\infty} \epsilon_i(t) P_i(\eta), \quad (6)$$

где $P_i(\eta)$ — полиномы Лежандра, $\eta = \cos \theta$, $\epsilon_i(t)$ — амплитуда искажения по i -й сферической гармонике.

Потенциал скоростей Φ записывается следующим образом:

$$\Phi = \frac{B_0(t)}{r} + \sum_{i=1}^{\infty} \frac{B_i(t)}{r^{i+1}} P_i(\eta). \quad (7)$$

С учетом (7) из (1) следует

$$f(t) = \frac{p_{\infty}}{\rho_f}, \quad (8)$$

где p_{∞} — давление в жидкости вдали от пузырька.

Дальнейшие соотношения получены из (1)–(4) в предположении, что

$$|\epsilon_i^3| \ll 1. \quad (9)$$

Подставим выражения (5)–(7) в уравнения (3), (4) с учетом (1) и (8). Применяя при интегрировании полученной системы по координате θ процедуру метода Бубнова-Галеркина и учитывая (9), получим систему обыкновенных дифференциальных уравнений первого порядка относительно неизвестных $R(t)$, $B_0(t)$, $\varepsilon_i(t)$, $\delta_i = B_i(t)/R^i$. Для сокращения записи уравнений примем соглашение о суммировании: если слагаемое содержит два одинаковых индекса, по этим индексам предполагается суммирование. Тогда система уравнений запишется в виде:

$$\dot{R} = R^{-2} \left\{ -B_0 + \left[-\frac{3}{2} B_0 \varepsilon_i^2 + (i+1) \varepsilon_i \delta_i \right] \tilde{\alpha}_{ii} \right\}, \quad (10)$$

$$\dot{\varepsilon}_l = R^{-3} \left\{ 3B_0 \varepsilon_l \tilde{\alpha}_{ll} - (l+1) \delta_l \tilde{\alpha}_{ll} - 3B_0 \varepsilon_i \varepsilon_j \tilde{\alpha}_{ijl} + A_{ijl} \delta_i \varepsilon_j \right\} / \tilde{\alpha}_{ll}, \quad (11)$$

$$\begin{aligned} & \dot{B}_0 \left(2 + \varepsilon_i^2 \tilde{\alpha}_{ii} \right) - \delta_i (i+1) \varepsilon_i \tilde{\alpha}_{ii} = \\ & = -R^{-3} \left\{ B_0^2 + \left[5B_0^2 \varepsilon_i^2 - 4(i+1) B_0 \varepsilon_i \delta_i + \frac{1}{2} (i+1)(2i+1) \delta_i^2 \right] \tilde{\alpha}_{ii} \right\} - \frac{R(\tau_{nn}, P_0)}{\rho_f} - \\ & - \frac{2}{\rho_f} \left\{ R(p^- - p_\infty) - \sigma \left[2 + (1-i-i^2) \varepsilon_i^2 \tilde{\alpha}_{ii} \right] \right\}, \end{aligned} \quad (12)$$

$$\begin{aligned} & \dot{B}_0 \left(-\varepsilon_l \tilde{\alpha}_{ll} + \varepsilon_i \varepsilon_j \tilde{\alpha}_{ijl} \right) + \delta_l \tilde{\alpha}_{ll} - \delta_j (j+1) \varepsilon_i \tilde{\alpha}_{ijl} = \\ & = -R^{-3} \left\{ B_0 (\delta_l - 2B_0 \varepsilon_l) \tilde{\alpha}_{ll} + 5B_0^2 \varepsilon_i \varepsilon_j \tilde{\alpha}_{ijl} - 4(j+1) B_0 \varepsilon_i \delta_j \tilde{\alpha}_{ijl} + \frac{1}{2} B_{ijl} \delta_i \delta_j \right\} + \\ & + \frac{1}{\rho_f} \left\{ \sigma \left[(l-1)(l+2) \varepsilon_l \tilde{\alpha}_{ll} + 2(1-i-i^2) \varepsilon_i \varepsilon_j \tilde{\alpha}_{ijl} \right] - R(\tau_{nn}, P_l) \right\}, \quad l=1, 2. \end{aligned} \quad (13)$$

В (10)–(13) обозначено:

$$\begin{aligned} \tilde{\alpha}_{ij} &= \int_{-1}^1 P_i P_j d\eta, \quad \tilde{\alpha}_{ijk} = \int_{-1}^1 P_i P_j P_k d\eta, \quad \tilde{\beta}_{ijk} = \int_{-1}^1 P_i' P_j' P_k (1-\eta^2) d\eta, \\ A_{ijk} &= (i+1)(i+2) \tilde{\alpha}_{ijk} - \tilde{\beta}_{ijk}, \quad B_{ijk} = (i+1)(j+1) \tilde{\alpha}_{ijk} + \tilde{\beta}_{ijk}, \\ (\tau_{nn}, P_0) &= 2 \frac{\mu}{R^3} \left\{ 2B_0 \left[2 + \left(6 - \frac{3}{2} i(i+1) \right) \varepsilon_i^2 \tilde{\alpha}_{ii} \right] + (i+1)(i+2)(i-3) \varepsilon_i \delta_i \tilde{\alpha}_{ii} \right\}, \\ (\tau_{nn}, P_l) &= 2 \frac{\mu}{R^3} \left\{ 2B_0 \left[-3\varepsilon_l \tilde{\alpha}_{ll} + \varepsilon_i \varepsilon_j (6\tilde{\alpha}_{ijl} - \frac{3}{2} \tilde{\beta}_{ijl}) \right] + \right. \\ & \left. + (l+1)(l+2) \delta_l \tilde{\alpha}_{ll} + \varepsilon_j \delta_i \left[2(i+2) \tilde{\beta}_{ijl} - (i+1)(i+2)(i+3) \tilde{\alpha}_{ijl} \right] \right\}. \end{aligned}$$

Эта система с дальнейшим учетом предположений (9) приводится к системе обыкновенных дифференциальных уравнений второго порядка относительно радиуса $R(t)$ и искажений $\varepsilon_i(t)$

$$\left\{ 1 + \frac{1}{2} \varepsilon_i^2 \tilde{\alpha}_{ii} \right\} R \ddot{R} + \frac{1}{2} R^2 \varepsilon_i \ddot{\varepsilon}_i \tilde{\alpha}_{ii} = -\frac{3}{2} \dot{R}^2 - \left(3 - \frac{18i+9}{4i+4} \right) \dot{R}^2 \varepsilon_i^2 \tilde{\alpha}_{ii} -$$

$$\begin{aligned}
& -\left(4 - \frac{6i+3}{2i+2}\right)R\dot{R}\varepsilon_i\dot{\varepsilon}_i\tilde{\alpha}_{ii} - \left(1 - \frac{2i+1}{4i+4}\right)R^2\varepsilon_i^2\tilde{\alpha}_{ii} - \\
& -\frac{\mu}{\rho_f}\left\{4\frac{\dot{R}}{R} - \left[6i\frac{\dot{R}}{R}\varepsilon_i^2 - (i+1)(i-2)\dot{\varepsilon}_i\varepsilon_i\right]\tilde{\alpha}_{ii}\right\} + \\
& +\frac{1}{\rho_f}\left\{p^- - p_\infty - \frac{\sigma}{R}\left[2 + (1-i-i^2)\varepsilon_i^2\tilde{\alpha}_{ii}\right]\right\}, \tag{14}
\end{aligned}$$

$$\begin{aligned}
R\ddot{R}\left[\frac{l-2}{l+1}\varepsilon_l\tilde{\alpha}_{ll} + \left(\frac{2l+5}{l+1}\tilde{\alpha}_{ijl} - 3\tilde{\gamma}_{jil}\right)\varepsilon_i\varepsilon_j\right] - \frac{1}{l+1}R^2\ddot{\varepsilon}_l\tilde{\alpha}_{ll} + (\tilde{\alpha}_{ijl} - \tilde{\gamma}_{jil})R^2\ddot{\varepsilon}_j\varepsilon_i = \\
= \dot{R}^2\left[\frac{3}{l+1}\varepsilon_l\tilde{\alpha}_{ll} - \left(\frac{3l+9}{2(l+1)}\tilde{\alpha}_{ijl} + \frac{9\tilde{\beta}_{ijl}}{2(i+1)(j+1)} - 3\tilde{\gamma}_{jil}\right)\varepsilon_i\varepsilon_j\right] - \\
-R^2\left[\frac{1}{2}\tilde{\alpha}_{ijl} + \frac{\tilde{\beta}_{ijl}}{2(i+1)(j+1)} - \tilde{\gamma}_{jil}\right]\dot{\varepsilon}_i\dot{\varepsilon}_j + \\
+R\dot{R}\left[\frac{5}{l+1}\dot{\varepsilon}_l\tilde{\alpha}_{ll} - \left(\frac{5l+11}{l+1}\tilde{\alpha}_{ijl} + \frac{3\tilde{\beta}_{ijl}}{(i+1)(j+1)}\right)\dot{\varepsilon}_j\varepsilon_i + (3\dot{\varepsilon}_i\varepsilon_j + 5\dot{\varepsilon}_j\varepsilon_i)\tilde{\gamma}_{jil}\right] + \tag{15} \\
+\frac{\sigma}{\rho_f R}\left[(l-1)(l+2)\varepsilon_l\tilde{\alpha}_{ll} + 2(1-i-i^2)\varepsilon_i\varepsilon_j\tilde{\alpha}_{ijl}\right] - \\
-2\frac{\mu}{\rho_f}\left\{-\left[3l\frac{\dot{R}}{R}\varepsilon_l + (l+2)\dot{\varepsilon}_l\right]\tilde{\alpha}_{ll} + 3\frac{\dot{R}}{R}\varepsilon_i\varepsilon_j[(j+1)(j+2-l)-2]\tilde{\alpha}_{ijl} + \right. \\
\left. +\left(\frac{l}{j+1}-1\right)\tilde{\beta}_{ijl}\right] - \dot{\varepsilon}_j\varepsilon_i[(j+2)(l-j-1)\tilde{\alpha}_{ijl} + \left(2 - \frac{l}{j+1}\right)\tilde{\beta}_{ijl}]\right\},
\end{aligned}$$

$$\text{где } \tilde{\gamma}_{ijk} = \frac{A_{ijk}}{(i+1)(k+1)}.$$

В уравнениях (14), (15) не учитывается влияние сжимаемости жидкости. Вместе с тем, известно, что при сильных сжатиях пузырька сжимаемость жидкости может вызывать значительные потери энергии сжатия на акустическое излучение. Строгий учет влияния сжимаемости жидкости в рамках допущения (9) является довольно сложной задачей. Поэтому в настоящей работе сжимаемость жидкости учитывается приближенно в предположении, что несферические возмущения гаснут по мере удаления от пузырька так, что в дальней от пузырька области они отсутствуют. В этом случае можно использовать методику работы [12]. Тогда уравнение для радиуса пузырька примет следующий вид:

$$\begin{aligned}
& \left\{1 - \frac{\dot{R}}{a} + \frac{4\mu}{a\rho_f R} + \frac{1}{2}\varepsilon_i^2\tilde{\alpha}_{ii}\right\}R\ddot{R} + \frac{1}{2}R^2\varepsilon_i\dot{\varepsilon}_i\tilde{\alpha}_{ii} = \\
& = -\left(\frac{3}{2} - \frac{\dot{R}}{2a}\right)\dot{R}^2 - \left(3 - \frac{18i+9}{4i+4}\right)\dot{R}^2\varepsilon_i^2\tilde{\alpha}_{ii} - \left(4 - \frac{6i+3}{2i+2}\right)R\dot{R}\varepsilon_i\dot{\varepsilon}_i\tilde{\alpha}_{ii} -
\end{aligned}$$

$$\begin{aligned}
& -\left(1 - \frac{2i+1}{4i+4}\right) R^2 \dot{\varepsilon}_i^2 \ddot{\alpha}_{ii} - \frac{\mu}{\rho_f} \left\{ 4 \frac{\dot{R}}{R} - \left[6i \frac{\dot{R}}{R} \varepsilon_i^2 - (i+1)(i-2) \dot{\varepsilon}_i \varepsilon_i \right] \ddot{\alpha}_{ii} \right\} + \\
& + \frac{1}{\rho_f} \left\{ \left(1 + \frac{\dot{R}}{a}\right) (\dot{p}^- - p_\infty) + \frac{R}{a} (\dot{p}^- - \dot{p}_\infty) - \frac{\sigma}{R} [2 + (1-i-i^2) \varepsilon_i^2 \ddot{\alpha}_{ii}] \right\},
\end{aligned} \quad (16)$$

где a — скорость звука в жидкости. Анализ уравнений показывает, что если искажения ε_i и скорости $\dot{\varepsilon}_i$ для всех нечетных i равны нулю при $t = 0$, то они остаются таковыми и при $t > 0$, независимо от величины искажений по четным гармоникам.

Система (15), (16) с начальными условиями:

$$R(0) = R_0, \quad \dot{R}(0) = 0, \quad \varepsilon_i(0) = \varepsilon_i^0, \quad \dot{\varepsilon}_i(0) = 0$$

решается методом Дормана–Принса седьмого порядка точности [13].

При вычислениях в представлении (6), (7) берется M гармоник, тогда система уравнений (15), (16) содержит $2M + 2$ неизвестных функций. Предполагается, что $\varepsilon_1 = 0$ и $\delta_1 = 0$, т. е. исключается перемещение центра тяжести пузырька.

Выражение для текущего объема пузырька с принятой точностью имеет вид

$$V = \frac{4}{3} \pi R^3 \left(1 + \frac{3}{2} \varepsilon_i^2 \ddot{\alpha}_{ii}\right).$$

Давление жидкости вдали от пузырька изменяется по закону

$$p_\infty = p_0 - \Delta p \sin \omega t,$$

где Δp — амплитуда, $\omega = 2\pi/T$ — угловая частота, T — период.

РЕЗУЛЬТАТЫ РАСЧЕТОВ

Изучаются несферические колебания пузырька воздуха в воде. Принимаются следующие условия: $\gamma = 1,4$, $b = (8,5)^{-3}$, $a = 1500$ м/с, $\rho_f = 1000$ кг/м³, $\sigma = 0,073$ кг/с², $\mu = 10^{-3}$ кг/мс, $p_0 = 0,1$ МПа, $\omega/2\pi = 26,5$ кГц.

Амплитуда колебаний давления и начальный радиус пузырька варьируются в интервалах $0,06 \text{ МПа} \leq \Delta p \leq 0,13 \text{ МПа}$, $3,5 \text{ мкм} < R_0 < 30 \text{ мкм}$. Начальные значения амплитуд искажения сферической формы пузырька полагаются равными $\varepsilon_i^0 = 10^{-8}$, $i = 2, 3 \dots$. Выражение $M = 1$ в подписях к графикам означает, что в уравнениях (6), (7) учитывается одна (вторая или третья) сферическая гармоника.

Колебания пузырька при малых искажениях его сферической формы и сравнение с экспериментом

Для малых амплитуд искажения в уравнениях (15), (16) можно пренебречь квадратичными относительно величин ε_i слагаемыми (при этом уравнение относительно R остается нелинейным). Решение задачи при таком пренебрежении будем условно называть линейным, а решение, полученное по полным соотношениям, — нелинейным.

В линейном решении колебания амплитуды искажения ε_i либо затухают, либо остаются неизменными, либо неограниченно возрастают. Уменьшение и увеличение амплитуды искажения происходит по закону, близкому к экспоненциальному.

При затухающих колебаниях искажения ε_i сферическая форма пузырька является устойчивой по отношению к возмущениям в виде i -й гармоники, а при возрастающих колебаниях — неустойчивой.

Для оценки достоверности полученных результатов используются данные эксперимента [14] и результаты работы [8] по определению границы области устойчивости сферических колебаний пузырька в плоскости изменения параметров $\Delta p, R_0$. Эксперимент и расчеты проводились для воздушного пузырька в воде при частоте колебаний давления жидкости $\omega/2\pi = 20,6$ кГц. Точки границы, полученные в эксперименте, показаны на рис. 1, *a* значками 1, 3, результаты работы [8] — 2, 4. Значками 3, 4 (1, 2) обозначены точки границы, в окрестности которых наблюдается развитие искажения в виде третьей (второй) сферической гармоники. Граница области устойчивости, рассчитанная по методике настоящей работы, приведена на рис. 1, *a* сплошной линией. Область устойчивости лежит ниже этой линии, а область неустойчивости — выше нее. В [8] задача решена с учетом вязкости жидкости, сжимаемости и теплопроводности.

Согласно результатам расчетов, для $\Delta p < 0,085$ МПа неустойчивость сферической формы развивается по третьей ($i = 3$) гармонике, а при $\Delta p > 0,085$ МПа форма поверхности пузырька оказывается наиболее чувствительной к возмущениям по второй ($i = 2$) гармонике. Видно, что согласование расчетных и экспериментальных данных можно считать удовлетворительным. Для высших гармоник ($i > 3$) сферическая форма поверхности пузырька согласно расчетам оказывается более устойчивой.

На рис. 1, *b* приведены границы области устойчивости для частоты $\omega/2\pi = 26,5$ кГц без учета (пунктирная линия) и с учетом (сплошная линия) сжимаемости жидкости при амплитудах колебания давления жидкости, близких к тем, при которых возникает явление сонолюминесценции. Видно, что учет сжимаемости увеличивает область устойчивости сферической формы пузырька. При этом наиболее опасным для пузырька при $\Delta p \geq 0,09$ МПа также является возмущение по второй гармонике. Отметим, что увеличение частоты колебаний давления жидкости приводит к уменьшению области устойчивых сферических колебаний.

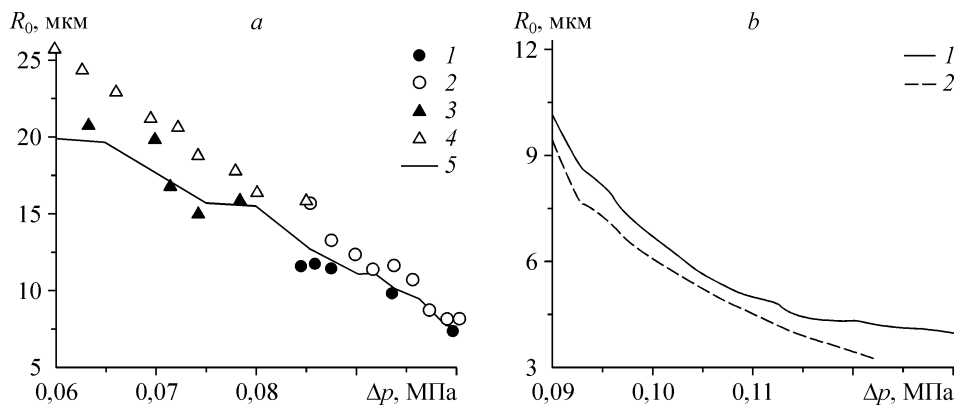


Рис. 1. Границы областей линейных устойчивых и неустойчивых сферических колебаний.

a — $\omega/2\pi = 20,6$ кГц: эксперимент [14] (1, 3), результаты работы [8] (2, 4), результаты настоящей работы (5); неустойчивость развивается по третьей гармонике (3, 4), по второй гармонике (1, 2);

b — $\omega/2\pi = 26,5$ кГц: с учетом (1) и без учета (2) сжимаемости жидкости.

Колебания пузырька при немалых искажениях его сферической формы

Исследуется влияние взаимодействия между искажениями по разным гармоникам на режимы колебаний и форму поверхности пузырька. Расчеты проводятся для значений Δp , R_0 , лежащих за границей области линейной устойчивости сферических колебаний.

На рис. 2 представлено развитие несферических колебаний пузырька для $\Delta p = 0,11$ МПа, $R_0 = 5,141$ мкм, $\varepsilon_2^0 = 10^{-8}$, $\varepsilon_i^0 = 0$, $i \geq 3$. При этих значениях Δp и R_0 сферические колебания пузырька устойчивы к возмущениям по гармоникам с номерами $i > 2$ и неустойчивы относительно возмущений по второй гармонике ε_2 . Поэтому на начальном отрезке времени амплитуда колебаний $\varepsilon_2(t)$ постепенно нарастает. При этом вследствие имеющейся нелинейной связи между амплитудами искажений возбуждаются возрастающие колебания по другим гармоникам с четными номерами. Как отмечалось выше, для нечетных гармоник $\varepsilon_i(t) = 0$. На начальном отрезке времени, пока квадратичные относительно ε_i слагаемые в (15), (16) малы, амплитуда колебаний ε_2 возрастает как в линейном решении по закону, близкому к экспоненциальному. По мере увеличения амплитуды колебаний ε_2 скорость ее роста из-за влияния нелинейных слагаемых в уравнениях (15), (16) все более замедляется. Со временем колебания ε_2 становятся периодическими с периодом колебаний давления жидкости T . Аналогичные периодические колебания совершают амплитуды искажений и по другим четным гармоникам. Вместе с тем, их величина, а значит и вклад в несферические колебания пузырька, по мере уменьшения длины волны возмущения (увеличения i) довольно быстро убывают. В частности, амплитуда колебаний ε_4 примерно в 5 раз меньше, чем амплитуда колебаний ε_2 (см. рис. 2, *b*). Результаты вычислений показали, что влияние искажений по гармоникам с номерами $i > 8$ на несферические колебания пузырька несущественно.

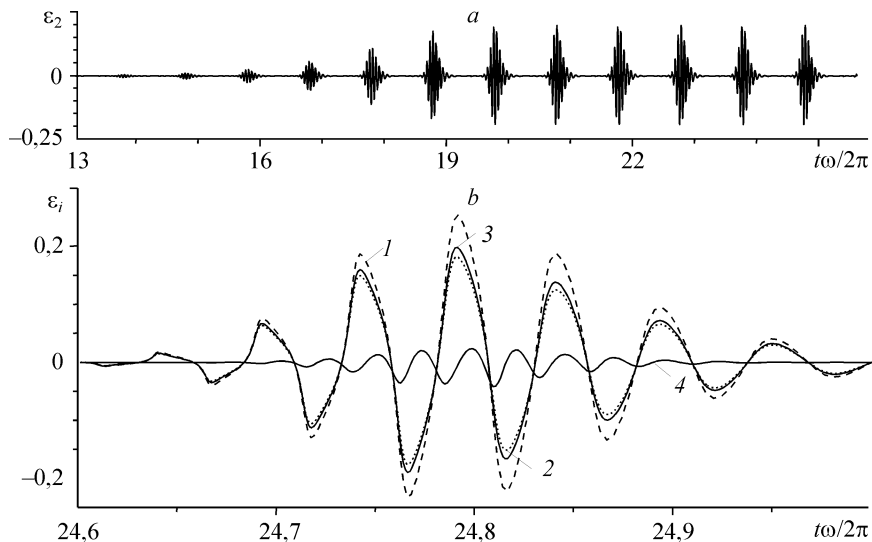


Рис. 2. Зависимости от времени искажений ε_i для $\Delta p = 0,11$ МПа, $R_0 = 5,14$ мкм, $\varepsilon_2^0 = 10^{-8}$:
a — ε_2 при $M = 8$; *b* — ε_2 при $M = 1$ (1), 6 (2), 8 (3), ε_4 при $M = 8$ (4).

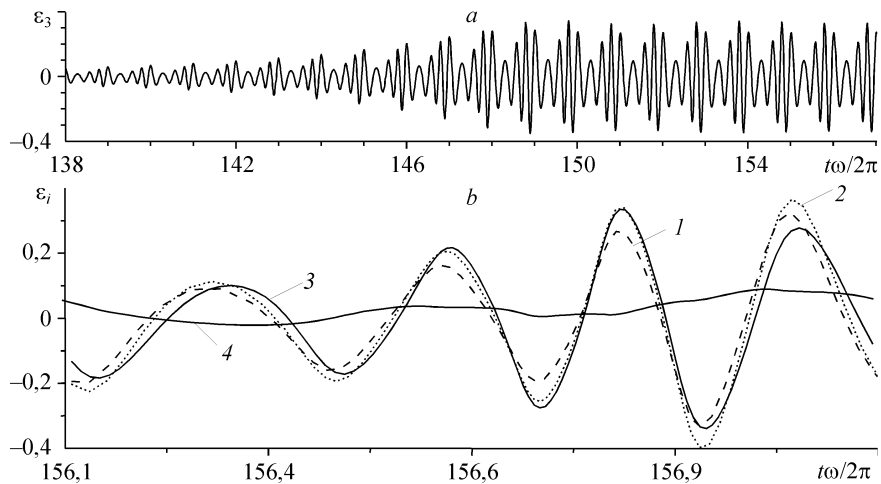


Рис. 3. Зависимости от времени искажений ε_i для $\Delta p = 0,065$ МПа, $R_0 = 17,41$ мкм, $\varepsilon_3^0 = 10^{-8}$: a — ε_3 при $M = 8$; b — ε_3 при $M = 1$ (1), 6 (2), 8 (3), ε_2 при $M = 8$ (4).

На рис. 3 показано развитие несферических колебаний пузырька для $\Delta p = 0,065$ МПа, $R_0 = 17,41$ мкм, $\varepsilon_3^0 = 10^{-8}$, $\varepsilon_i^0 = 0$, $i \neq 3$. При таких значениях Δp и R_0 сферические колебания пузырька устойчивы к возмущениям по всем гармоникам, кроме третьей. Поэтому на начальном отрезке времени амплитуда искажения $\varepsilon_3(t)$ постепенно нарастает (см. рис. 3, a). В силу нелинейной связи между искажениями рост амплитуды колебаний $\varepsilon_3(t)$ инициирует развитие колебаний по всем другим гармоникам. Со временем колебания искажений становятся периодическими с периодом изменения давления жидкости T . Максимальным искажением, определяющим форму поверхности пузырька, является искажение $\varepsilon_3(t)$, т. к. сферические колебания пузырька неустойчивы к возмущениям по этой гармонике. Амплитуда колебаний искажения по второй гармонике значительно меньше (см. рис. 3, b).

Результаты, приведенные на рис. 2, 3, показывают, что учет в искажении сферической формы пузырька гармоник с номерами $i > 3$ приводит к уменьшению наибольшей амплитуды искажения на 15–20 %. При этом форма поверхности пузырька качественно не меняется и в зависимости от параметров задачи остается

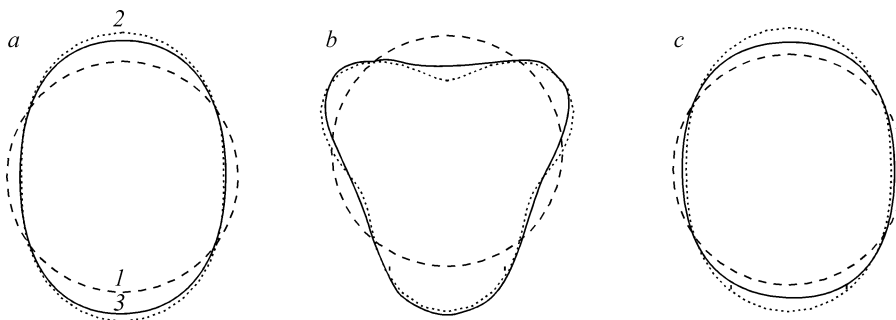


Рис. 4. Формы поверхности пузырька в момент времени t^* : 1 — сфера радиуса $R(t^*)$, 2 — $M = 1$, $i = 2$ (a , c), 3 (b); 3 — $M = 8$.

$R_0 = 5,141$ (a), $17,41$ (b), $8,132$ (c) мкм, $\Delta p = 0,11$ (a), $0,065$ (b), $0,095$ (c) МПа, $t^*/T = 24,8$ (a), $154,9$ (b), $80,8$ (c).

либо близкой к эллипсоидальной (см. рис. 4, *a, c*), если наибольшей является амплитуда искажения второй гармоники, либо трехлепестковой (см. рис. 4, *b*), если наибольшая амплитуда наблюдается у третьей гармоники.

В зависимости от вида искажения $\epsilon(\theta, t)$ и значений параметров $\Delta p, R_0$ могут иметь место различные режимы нелинейных колебаний. На рис. 5 изображены зависимости $\epsilon_2(t)$ и $\epsilon_4(t)$ для $\Delta p = 0,095$ МПа, $\epsilon_3^0 = 10^{-8}$, $R_0 = 8,128$ мкм (см. рис. 5, *a-c*) и $R_0 = 8,132$ мкм (см. рис. 5, *d-f*). Как показали вычисления, значения $\Delta p, R_0$ находятся за границей области устойчивости относительно искажений по второй гармонике и в пределах области устойчивости относительно искажений по третьей гармонике. Поэтому развитие колебаний формы пузырька происходит иначе, чем в случаях, рассмотренных выше на рис. 2 и 3. Здесь колебания формы инициируются затухающими колебаниями искажения ϵ_3 . За счет нелинейной связи колебания ϵ_3 возбуждают колебания искажений и по всем другим гармоникам. При этом искажение по второй гармонике постепенно нарастает, поскольку сферическая форма к такому возмущению неустойчива. Рост искажения $\epsilon_2(t)$

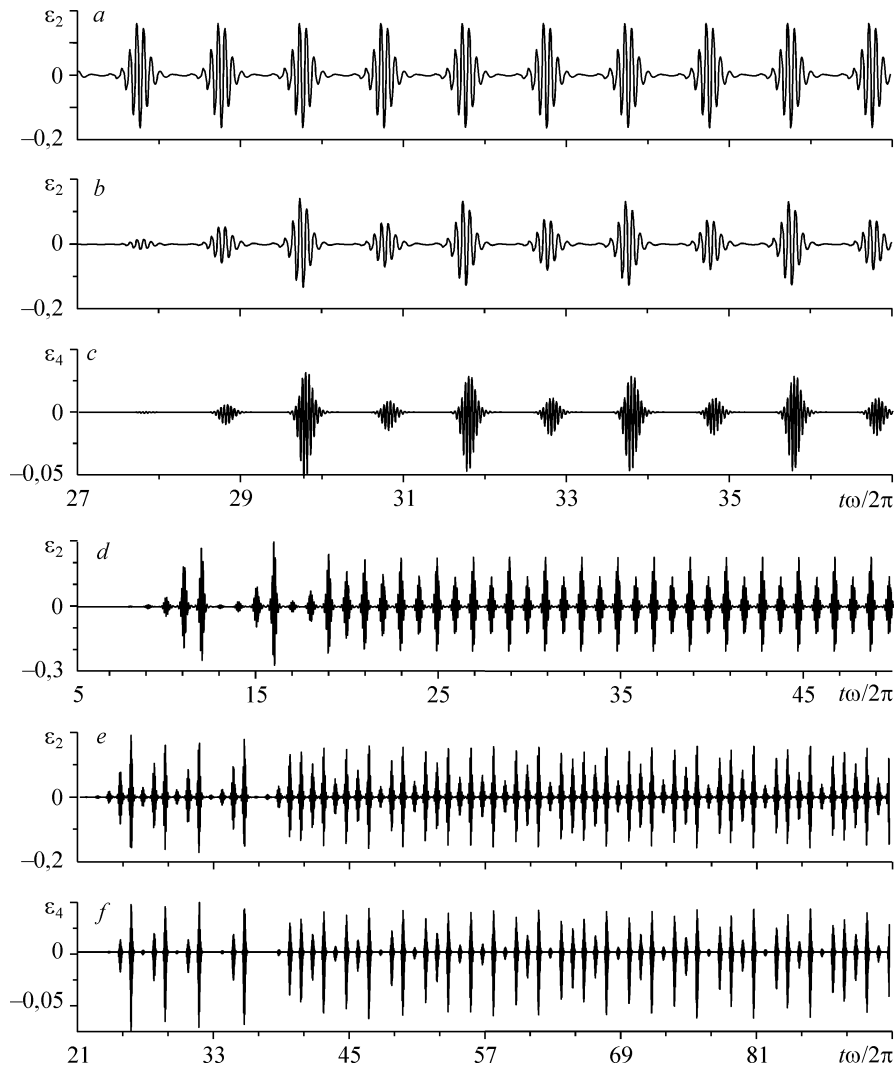


Рис. 5. Зависимости от времени искажений ϵ_2, ϵ_4 при $\Delta p = 0,095$ МПа, $R_0 = 8,128$ мкм (*a, b, c*), $8,132$ мкм (*d, e, f*): $M = 1$ (*a, d*), 8 (*b, c, e, f*).

приводит к росту искажений по другим гармоникам с четными номерами. Как отмечалось выше, колебания искажений с четными номерами не поддерживают колебания искажений с нечетными номерами. Поэтому рост $\varepsilon_2(t)$ и возбуждаемых им колебаний искажений с другими четными номерами происходит при затухании колебаний искажений с нечетными номерами. Наибольшая амплитуда возникает у искажения по второй гармонике. При этом со временем для $R_0 = 8,128$ мкм устанавливаются колебания с периодом, равным $2T$ (см. рис. 5, *b, c*), а для $R_0 = 8,132$ мкм (см. рис. 5, *e, f*) колебания на рассмотренном интервале времени приобретают аperiodический характер.

При задании для этих же значений Δp и R_0 начального искажения не по третьей, а по второй гармонике ($\varepsilon_2^0 = 10^{-8}$, $\varepsilon_i^0 = 0$ при $i > 2$) развитие колебаний формы пузырька будет иным лишь на начальном интервале времени. С течением времени картина колебаний окажется такой же, как изображенная на рис. 5, *b, c, e, f*.

Если искажение формы поверхности пузырька определить одной второй гармоникой, то с течением времени колебания $\varepsilon_2(t)$ становятся периодическими: при $R_0 = 8,128$ мкм (см. рис. 5, *a*) они имеют период T , а при $R_0 = 8,132$ мкм (см. рис. 5, *d*) — $2T$. Таким образом, если влияние искажений с четными номерами $i > 2$ не учитывать, то происходит изменение режимов колебаний, а также увеличение наибольшей амплитуды искажения $\varepsilon_2 \approx$ на 20 % по сравнению со случаем учета многих гармоник.

Режимы колебаний искажений $\varepsilon_i(t)$ можно также описать с помощью зависимостей максимальной на периоде изменения давления величины искажения ε_i^T ($\varepsilon_i^T = \max_{(k-1)T \leq t \leq kT} |\varepsilon_i(t)|$, k — номер периода) от значения начального радиуса R_0 .

Такие зависимости представлены на рис. 6. Значения ε_i^T определяются при достаточно большом числе k , когда колебания приобретают выраженный периодический (или аperiodический) характер. На рис. 6, *a* приведены зависимости $\varepsilon_i^T(R_0)$

для $\Delta p = 0,065$ МПа в случае, когда искажение сферической формы поверхности представляется одной третьей гармоникой (без учета влияния искажений по гармоникам с другими номерами) или рядом из восьми гармоник. Видно, что на рассмотренном интервале изменения R_0 наблюдаются периодические колебания. Границе области линейной устойчивости соответствует значение $R_0 = 17,402$ мкм. При выходе за эту границу имеет место ограниченный рост амплитуд искажения ε_i^T . Наибольшей оказывается амплитуда ε_3^T (линия 1), когда искажение сферической

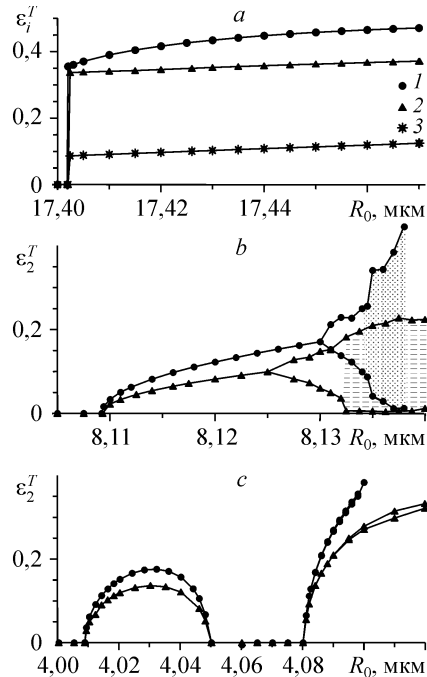


Рис. 6. Зависимости максимального на периоде изменения давления жидкости значения искажения ε_i^T от начального радиуса пузырька для R_0 для $\Delta p = 0,065$ (*a*), $0,095$ (*b*), $0,13$ (*c*) МПа.

поверхности пузырька определяется одной третьей гармоникой. При $M = 8$ происходит уменьшение амплитуды ε_3^T (2). Другие гармоники имеют существенно меньшую амплитуду колебаний. Зависимость $\varepsilon_2^T(R_0)$ показана на рисунке линией 3.

Для $\Delta p = 0,095$ МПа (см. рис. 6, *b*) наблюдается более сложная зависимость $\varepsilon_i^T(R_0)$. Линией 1 на рис. 6, *b* представлены результаты для пузырька, искажение которого определяется одной второй гармоникой, линией 2 — решение при $M = 8$. В обоих случаях с ростом R_0 происходит изменение режима колебаний от колебаний с периодом T к колебаниям с периодом $2T$ и затем к аperiodическим колебаниям. Совокупность всех значений ε_2^T , наблюдаемых на аperiodическом режиме колебаний, показана затемненными областями. При этом для $M = 8$ смена режимов колебаний происходит начиная с меньших значений R_0 , чем при решении задачи для одной второй гармоники.

Для $\Delta p = 0,13$ МПа (см. рис. 6, *c*) аperiodические колебания не возникают, но наблюдаются интервалы изменения R_0 , где колебания имеют периодический характер с периодами T и $2T$, а также интервалы, где колебания затухают. Видно, что для $\Delta p = 0,095, 0,13$ МПа в конце рассмотренных интервалов изменения R_0 пренебрежение влиянием искажений по гармоникам с номерами $i > 2$ (1) приводит к значительному завышению максимальной на периоде внешнего воздействия амплитуды искажения ε_2^T .

ЗАКЛЮЧЕНИЕ

Разработана математическая модель несферических колебаний пузырька газа в жидкости, в которой ее вязкость учитывается через динамическое граничное условие на поверхности пузырька. Вне межфазной границы движение жидкости предполагается потенциальным. Сжимаемость жидкости учитывается только в дальней от пузырька области. Изменение формы поверхности пузырька представляется в виде ряда по сферическим гармоникам. В уравнениях учтены члены второго порядка малости по отношению к амплитудам искажения сферической формы пузырька.

В рамках данной модели изучены несферические колебания воздушного пузырька в воде при периодическом изменении давления жидкости со значениями частоты и амплитуды, близкими к тем, при которых возникает явление однопузырьковой сонолюминесценции. Установлено, что при значениях амплитуды изменения давления жидкости и начального радиуса, лежащих за границей области линейно-устойчивых сферических колебаний, наблюдаются нелинейные несферические колебания с ограниченной амплитудой искажения сферической формы. При этом пренебрежение влиянием искажения пузырька по высокочастотным гармоникам может приводить к изменению режимов колебаний и вызывает увеличение амплитуд искажений. Показано, что несферические колебания могут иметь период, равный одному или двум периодам изменения давления жидкости, а также быть аperiodическими.

СПИСОК ЛИТЕРАТУРЫ

1. Putterman S.J., Weninger K.P. Sonoluminescence: How bubbles turn sound into light // Annu. Rev. Fluid Mech. — 2000. — Vol. 32. — P. 445–476.
2. Маргулис М.А. Сонолюминесценция // Успехи физ. наук. — 2000. — Т. 170, № 3. — С. 263–287.
3. Flannigan D.J., Suslick K.S. Plasma formation and temperature measurement during single-bubble cavitation // Nature. — 2005. — Vol. 434. — P. 52–55.

4. **Plesset M.S.** On the stability of the fluid flow with spherical symmetry // J. Appl. Phys. — 1954. — Vol. 25, No. 1. — P. 96–98.
5. **Гасенко В.Г., Соболев В.В.** Поведение сферической кавитационной полости в звуковом поле // Волновые процессы в двухфазных системах. — Новосибирск: Ин-т теплофизики СО АН СССР. — 1975. — С. 207–258.
6. **Brenner M.P., Lohse D., Dupont T.F.** Bubble shape oscillations and the onset of sonoluminescence // Phys. Rev. Lett. — 1995. — Vol. 75, No. 5. — P. 954–957.
7. **Wu C.C., Roberts P.H.** Bubble shape instability and sonoluminescence // Phys. Lett. A. — 1998. — Vol. 250. — P. 131–136.
8. **НАО Y., Prosperetti A.** The effect of viscosity on the spherical stability of oscillating gas bubbles // Phys. Fluids. — 1999. — Vol. 11, No. 6. — P. 1309–1317.
9. **Аганин А.А., Ильгамов М.А., Косолапова Л.А., Малахов В.Г.** Эллипсоидальные колебания газового пузырька при периодическом изменении давления окружающей жидкости // Изв. РАН. МЖГ. — 2005. — № 5. — С. 45–52.
10. **Аганин А.А., Ильгамов М.А.** Динамика пузырька в вязкой жидкости с немалыми искажениями сферической формы // Динамика газовых пузырьков и аэрозолей. — Казань: Казанский государственный университет им. В.И. Ульянова–Ленина, 2003. — С. 7–22.
11. **Ильгамов М.А., Аганин А.А., Косолапова Л.А. и др.** Модели динамики несферического пузырька с учетом вязкости жидкости // Тр. Матем. Центра им. Н.И. Лобачевского. Т. 16. Модели механики сплошной среды. Материалы 16-й сессии Междунар. школы по моделям механики сплошной среды, Казань, 2002. — Казань: Изд-во Казан. матем. об-ва, 2002. — С. 192–201.
12. **Нигматуллин Р.И., Ахатов И.Ш., Вахитова Н.К.** О сжимаемости жидкости в динамике газового пузырька // ДАН. — 1996. — Т. 348, № 6. — С. 768–771.
13. **Хайрер Э., Нерсетт С., Ваннер Г.** Решение обыкновенных дифференциальных уравнений. Нежесткие задачи. — М.: Мир, 1990. — 512 с.
14. **Holt R.G., Gaitan D.F.** Observation of stability boundaries in the parameter space of single bubble sonoluminescence // Phys. Rev. Lett. — 1996. — Vol. 77, No. 18. — P. 3791–3794.

*Статья поступила в редакцию 15 мая 2006 г.,
после переработки — 23 октября 2007 г.*